

АКТИВАЦИОННЫЙ ХАРАКТЕР РЕЛАКСАЦИИ ЭЛЕКТРОСОПРОТИВЛЕНИЯ В КВАЗИОДНОМЕРНОМ СОЕДИНЕНИИ Mo_2S_3

А.И.Романенко, А.К.Джунусов, И.Н.Куропятник, Е.В.Холопов

Измерены времена релаксации τ электросопротивления монокристаллов Mo_2S_3 в интервале температур 0,98 – 145 К. Ниже 80 К обнаружен экспоненциальный рост τ с уменьшением температуры. Полученная зависимость объяснена в рамках модели газа доменных стенок, характерной для цепочек атомов Mo в структуре Mo_2S_3 .

В последнее время значительный интерес привлекают низкоразмерные неорганические системы (NbSe_3 , TaS_3 , Mo_2S_3), в которых обнаружены метастабильные состояния, – системы с "памятью" ^{1–3}. Для выяснения природы релаксационных процессов в монокристаллах Mo_2S_3 в данной работе измерена температурная зависимость времени релаксации τ электросопротивления при малых отклонениях от равновесия.

Кристаллическая структура Mo_2S_3 изучалась в работе ⁵. Атомы Mo в Mo_2S_3 образуют два вида кристаллографически независимых зигзагообразных цепочек со связью металл – металл внутри каждой цепочки. В работе ⁵ показано, что ниже температуры 390 К на каждой из цепочек существует сверхструктура. В работе ³ установлено, что ниже 180 К соединение Mo_2S_3 может легко переводиться в метастабильное состояние быстрым охлаждением.

Использовавшиеся в настоящей работе монокристаллы Mo_2S_3 приготавливались по методике описанной в работе ³ и имели размеры $(5 \cdot 10^{-3}) \cdot 10^{-3} \cdot 5$ мм³. Измерения электросопротивления проводились четырехконтактным потенциометрическим методом. Методика приготовления электрических контактов, позволяющих производить измерения электросопротивления с относительной точностью $10^{-4}\%$, также описана в ³. Отличительной особенностью установки, которая использовалась для измерений температурной зависимости τ , было размещение термометра и нагревателя непосредственно на держателе образца. Это позволяло держатель вместе с образцом охлаждать и стабилизировать при температуре измерения τ менее чем за 20 с, и затем экспериментальные результаты измерения электросопротивления каждые 20 с выводить на регистрирующее устройство в течение времени $(3 \div 4) \tau$. Обработка экспериментальных результатов проводилась по методу наименьших квадратов. В предположении экспоненциального характера временной зависимости неравновесного электросопротивления, экспериментальные результаты аппроксимировались выражением:

$$\ln (dR/dt) = A - t/\tau, \quad (1)$$

где R – электросопротивление образца, A – константа, t – время, отсчитываемое от момента начала изменения температуры при переходе к новой температуре измерения величины τ .

Дифференцирование экспериментальных данных проводится по разностной схеме. Типичная кривая (температура измерения 76 К) приведена на рис. 1. Полученные значения τ использовались для определения температурной зависимости времени релаксации $\tau(T)$. Ниже 80 К обнаружен резкий рост τ с понижением температуры (при уменьшении температуры от 78 до 71 К τ увеличивается в 40 раз) по экспоненциальному закону:

$$\tau(T) = \tau_0 \exp(\Delta/kT). \quad (2)$$

Оценка доверительного интервала изменения параметров уравнения (2) τ_0 и Δ/k по коэффициентам Стьюдента на уровне 0,9 с числом точек 6 дает⁴:

$$\tau_0 = (2,9_{-1}^{+3}) \cdot 10^{-13} \text{ с}, \quad \Delta/k = (2,7_{-0,9}^{+2}) \cdot 10^3 \text{ К}. \quad (3)$$

Первые два значения τ при температурах 78 и 77 К (рис. 2) имели большой экспериментальный разброс и при обработке на функциональную зависимость вида (2) не использовались.

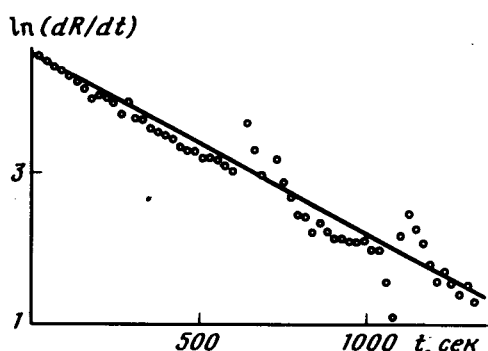


Рис. 1

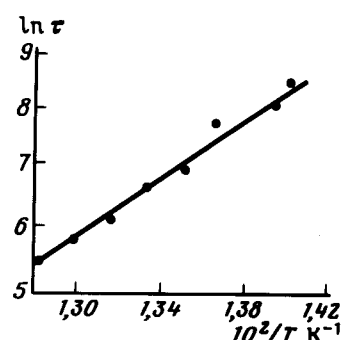


Рис. 2

Рис. 1. Временная зависимость неравновесного электросопротивления R (типичная зависимость, температура измерения 76 К). Непрерывной линией показана зависимость $\ln(dR/dt) = A - t/\tau$, где A – константа, t – время отсчитываемое от момента начала изменения температуры при переходе к новой температуре измерения времени релаксации τ

Рис. 2. Температурная зависимость времени релаксации τ . Непрерывной линией показана зависимость $\tau(T) = \tau_0 \exp(\Delta/kT)$, где $\tau_0 = (2,9_{-1}^{+3}) \cdot 10^{-13}$ с, $\Delta/k = (2,7_{-0,9}^{+2}) \cdot 10^3$ К

Согласно данным работы⁵, в Mo_2S_3 период волн сверхструктуры вдоль каждой цепочки атомов Mo охватывает 4 атома, которые смещаются циклически в четырех направлениях в плоскости цепочки на расстоянии $\sim 0,16 \text{ \AA}$. Поскольку при низких температурах основным возбуждением, определяющим термодинамику одномерной системы, является газ доменных стенок⁶, время релаксации которого возрастает по экспоненциальному закону с понижением температуры⁷, естественно предположить, что соответствующее время релаксации проявляется и в прочих кинетических процессах. Отсюда можно оценить величину Δ/k в выражении (2). Исходя из указанной выше амплитуды смещения атомов Mo вдоль волны и полагая для модуля упругости вдоль цепочки характерное значение $\sim 10^{12}$ дин/см², получаем оценку $\Delta/k \sim 2 \cdot 10^3$ К. Аналогичная оценка τ_0 , как характерной фоновой частоты вдоль цепочки, приводит к значению $\sim 3 \cdot 10^{-13}$ с. Соответствие полученных оценок экспериментально полученным результатам (3) свидетельствует об ионном характере наблюдаемых нами релаксационных процессов. Вместе с тем, проявление структурных релаксационных процессов непосредственно в электросопротивлении Mo_2S_3 указывает на существенную перестройку зон проводимости вдоль цепочек атомов Mo при возникновении сверхструктуры. При этом, естественно предположить пайерлсовский характер возникающих искажений, когда когерент-

ное смещение узлов кристаллической решетки сопровождается образованием щели на поверхности Ферми электронов проводимости⁸, что подтверждается резким изменением величины электросопротивления при температурах образования сверхструктур вдоль цепочек атомов Mo³,⁵. Наличие доменных стенок, как центров случайного некогерентного рассеяния волновой функции электрона, приводит к конечной электронной плотности внутри щели, ведущей к уменьшению электросопротивления.

Таким образом, экспериментально обнаруженное в монокристаллах Mo₂S₃ экспоненциальное замедление релаксации электросопротивления может быть объяснено в рамках модели газа доменных стенок на одномерных цепочках атомов Mo, являющихся составной частью структуры Mo₂S₃.

Литература

1. Fleming R.M. Solid State Comm., 1982, 43, 167.
2. Mihaly G., Mihaly L. Phys. Rev. Lett., 1984, 52, 149.
3. Romanenko A.I., Rakhenkulov F.S., Kuropyatnik I.N., Fedorov V.E., Mishchenko A.V. Phys. Stat. Sol. (a), 1984, 84, K165.
4. Румшанский Л.З. Математическая обработка результатов эксперимента. М.: Наука, 1971.
5. Deblieck R. et al, Phys. Stat. Sol. (a), 1983, 77, 249.
6. Krumhansl J.A., Schrieffer J.R. Phys. Rev., 1975, B11, 3535.
7. Холопов Е.В. Сб.: Всесоюзный симпозиум "Неоднородные электронные состояния", Тезисы докл., Новосибирск, 1984 г., с. 100.
8. Пайерлс Р. Квантовая теория твердых тел. М.: ИИЛ, 1956.

Институт неорганической химии

Академии наук СССР

Сибирское отделение

Поступила в редакцию

17 января 1985 г